

发光晶体 $\text{Na}_5\text{Er}(\text{WO}_4)_4$ 的光谱性质和 Er^{3+} 的光谱参数计算

郭常新 林 泳 姚连增* 邓 纶*

(中国科学技术大学物理系, * 材料系, 合肥 230026)

摘要 制备了 $\text{Na}_5\text{Er}(\text{WO}_4)_4$ 的粉末和单晶, 测定了晶格参数、单晶吸收光谱, 激发和发光光谱。计算了吸收谱线振子强度, 根据 Judd-Ofelt 理论拟合出 Er^{3+} 发光光谱的三个强度参数 $\Omega_{2,4,6} = 1.74, 1.46, 0.51 \times 10^{-2} \text{ cm}^2$, 计算了自发辐射电偶和磁偶跃迁振子强度和跃迁几率、辐射寿命、荧光分支比和积分发射截面等光谱参数, 讨论了 Er^{3+} 发光谱线出激光的可能性。

关键词 Er^{3+} 发光, 激光, $\text{Na}_5\text{Er}(\text{WO}_4)_4$, 光谱参数

$\text{Na}_5\text{Er}(\text{WO}_4)_4$ 是基质发光晶体, 含高浓度 Er^{3+} , 其发光却没有明显的浓度猝灭。与 $\text{Na}_5\text{Er}(\text{WO}_4)_4$ 结构相同的 $\text{Na}_5\text{Nd}(\text{WO}_4)_4$ 单晶已获激光输出。而 Er^{3+} 在 YAlO_3 , $\text{Y}_3\text{Al}_5\text{O}_{12}$ 和 CaF_2 中都实现了激光输出^[1]。对 $\text{ErP}_5\text{O}_{14}$ ^[1], $\text{Y}_3\text{Al}_5\text{O}_{12} : \text{Er}$ ^[2], 掺 Er^{3+} 磷酸盐玻璃^[3] 和 $\text{ZnWO}_4 : \text{Er}$ ^[4] 的光谱参数和某些谱线获激光振荡已有研究。本工作的目的是制备 $\text{Na}_5\text{Er}(\text{WO}_4)_4$ 单晶, 测定它的吸收光谱和发光特性, 计算它的光谱参数, 分析它出激光的可能性。

1 单晶生长与结构

要测 $\text{Na}_5\text{Er}(\text{WO}_4)_4$ 的吸收光谱必需要有足够大的单晶, 但其单晶生长极为困难。先制备 $\text{Na}_5\text{Er}(\text{WO}_4)_4$ 粉末, 将 99.9% Er_2O_3 , 无水 Na_2CO_3 和优级纯 H_2WO_4 按 1 : 6 : 9 配比, 装入刚玉坩埚, 在马弗炉中于 650 °C 煅烧 5 h 后研细再烧 3.5 h, 用去离子水洗去过量的 Na_2WO_4 , 获得 $\text{Na}_5\text{Er}(\text{WO}_4)_4$ 粉末。用 Na_2WO_4 作助熔剂, $\text{Na}_5\text{Er}(\text{WO}_4)_4$ 单晶用助熔剂缓冷法生长, 具体过程可参阅参考文献[5]。生成的单晶尺寸达几个毫米。用 X 光衍射法确定 $\text{Na}_5\text{Er}(\text{WO}_4)_4$ 属四方晶系, 类白钨矿结构, $I4_1/a$ 空间群, 一个晶胞中分子式数 $Z = 4$, 晶格常数 $a = 1.1351 \text{ nm}$, $C = 1.1291 \text{ nm}$, 可计算出密度 $\rho = 5.818 \text{ g/cm}^3$, 晶体中 Er 浓度 $N = 2.75 \times 10^{21} \text{ cm}^{-3}$, 重量浓度 $C = 13.1\%$ 。

2 荧光光谱和激发光谱

用日立 850 型紫外可见荧光分光光度计测定的 $\text{Na}_5\text{Er}(\text{WO}_4)_4$ 单晶的激发光谱和荧光光谱如图 1 和图 2 所示。样品是用晶粒磨碎压成片。荧光光谱测定时激发波长是 380 nm, 它激发

Er^{3+} 的 $^4I_{15/2} \rightarrow ^4G_{11/2}$ 跃迁。在可见区 Er^{3+} 发射线谱: $^2H_{9/2} \rightarrow ^4I_{15/2}$, $^4I_{13/2}$ 和 $^4I_{11/2}$ [峰值 410 nm, 553.6 nm(主峰)和 699 nm], $^2H_{11/2} \rightarrow ^4I_{15/2}$ (530 nm)。而 $^2H_{9/2} \rightarrow ^4I_{15/2,13/2,11/2}$ 的荧光分支比为 8.5 : 77.3 : 14.2。测激发谱时荧光监测波长为 553.6 nm(主峰)。激发光谱是 Er^{3+} 的 4f-4f 跃迁线谱, 属 $^4I_{15/2} \rightarrow ^4G_{9/2,11/2}$ (365 nm, 380 nm), $^4I_{15/2} \rightarrow ^2H_{9/2}$ (406 nm) 和 $^4I_{15/2} \rightarrow ^4F_{3/2,5/2,7/2}$ (443 nm, 451 nm 和 489 nm)。

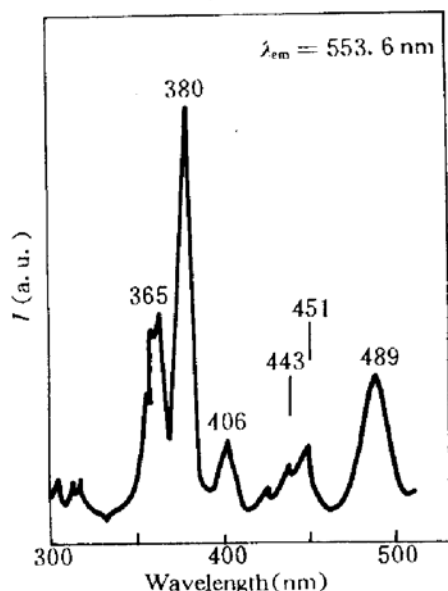


Fig. 1 Excitation spectrum of $\text{Na}_5\text{Er}(\text{WO}_4)_4$

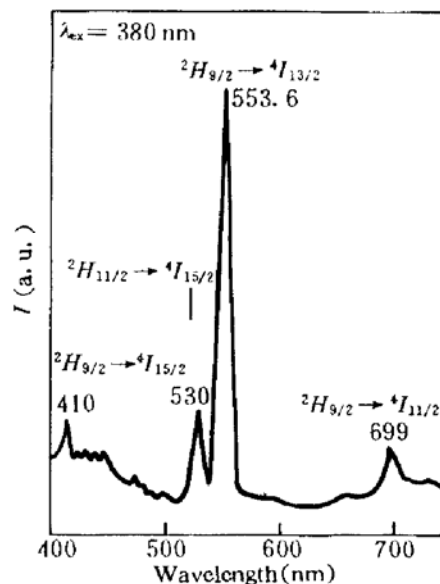


Fig. 2 Fluorescence spectrum of $\text{Na}_5\text{Er}(\text{WO}_4)_4$

3 吸收光谱和跃迁振子强度

将 $\text{Na}_5\text{Er}(\text{WO}_4)_4$ 单晶磨成 0.11 cm 厚的薄片, 用岛津 UV-365 型紫外可见分光光度计测定

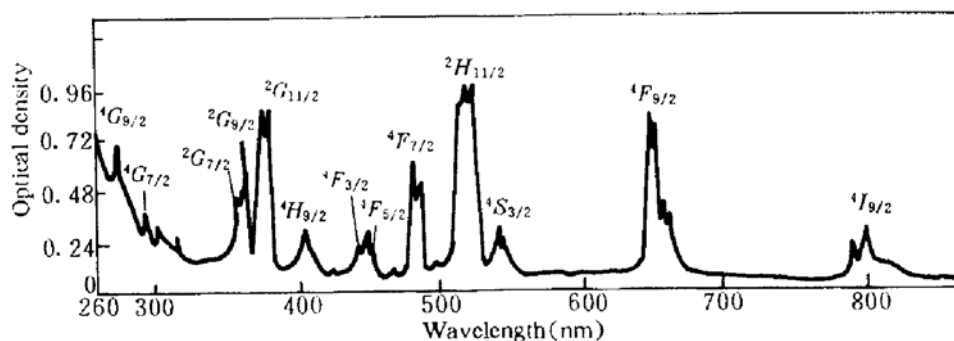


Fig. 3 Absorption spectrum of $\text{Na}_5\text{Er}(\text{WO}_4)_4$ crystal. The thickness of the crystal is 0.11 cm. The initial energy level of absorption peaks is the ground state $^4I_{15/2}$ of Er^{3+} . The symbols in the figure denote final energy levels of the peaks

了它的吸收光谱(图 3)。吸收谱短波边缘波长为 260 nm, $E_g = 4.8 \text{ eV}$ 。各吸收峰为 Er^{3+} 的 4f-4f 吸收, 初态都是基态 $^4I_{15/2}$, 末态在图 3 中标出, 各吸收峰波长位置由表 1 给出。其中吸收振子强度 $p = (mc^2/\pi e^2 N \bar{\lambda}^2) \int K(\lambda) d\lambda$ ^[6], 式中 m, e 为电子质量和电荷, c 为光速, N 为 Er 浓度, $\bar{\lambda}$ 为谱线中心波长, $K(\lambda)$ 为波长 λ 处的吸收系数, 积分对每一谱线进行。因 $\int K(\lambda) d\lambda = (1/0.43L) \int D(\lambda) d\lambda$ ^[7], 式中 $D(\lambda)$ 是吸收光谱光密度, L 为被测晶体厚度, 可由吸收光谱确定此积分, 从而确定 Er^{3+} 的各吸收跃迁振子强度, 结果列于表 1。

Table 1 Absorption transitions and oscillator strength of Er^{3+} in $\text{Na}_5\text{Er}(\text{WO}_4)_4$ crystal

Transitions	Wavelength (nm)	Wavenumber (cm^{-1})	$P_{\text{exp.}} (10^{-6})$	$P_{\text{calc.}} (10^{-6})$
$^4I_{15/2} \rightarrow ^4I_{9/2}$	804	12348	0.54	0.37
$\rightarrow ^4F_{9/2}$	654	15291	1.94	1.80
$\rightarrow ^4S_{3/2}$	544	18382	0.71	0.23
$\rightarrow ^2H_{11/2}$	522	19157	4.52	4.22
$\rightarrow ^4F_{7/2}$	487	20534	1.11	1.27
$\rightarrow ^4F_{5/2}$	450	22222	0.43*	0.46
$\rightarrow ^4F_{3/2}$	442	22624	0.43*	0.46
$\rightarrow ^2H_{9/2}$	406	24631	0.45	0.41
$\rightarrow ^2G_{11/2}$	378	26455	8.80	8.96
$\rightarrow ^2G_{9/2}$	365	27397		
$\rightarrow ^2K_{15/2}$	360	27778		
$\rightarrow ^2G_{7/2}$	354	28249		
$\rightarrow (^2P, ^2D)_{3/2}$	318	31447		
$\rightarrow ^4G_{5/2}$	302	33113		
$\rightarrow ^4G_{7/2}$	293	34130		
$\rightarrow ^4G_{9/2}$	273	36630		

$$\Omega_2 = 1.74 \times 10^{-20} \text{ cm}^2, \Omega_4 = 1.46 \times 10^{-20} \text{ cm}^2, \Omega_6 = 0.51 \times 10^{-20} \text{ cm}^2, RMS = 2.9 \times 10^{-7}$$

* Because of overlap, the two transitions were counted as one.

4 光谱参数计算

据 Judd-Ofelt 谱线强度理论^[7~9], $4f^N$ 电子组态的 SLJ 能级到 $S' L' J'$ 跃迁的谱线强度为

$$S_{JJ'} = \sum_{\lambda=2,4,6} \Omega_{\lambda} |\langle 4f^N[SL]J \| U^{(\lambda)} \| 4f^N[S'L']J' \rangle|^2 \quad (1)$$

式中三个参数 Ω_{λ} 与 J 无关, $U^{(\lambda)}$ 为单位张量算符。 Er^{3+} 的约化矩阵元 $\langle 4f^N[SL]J \| U^{(\lambda)} \| 4f^N[S'L']J' \rangle$ 的值可以从文献[10,11]查到。式(1)含三个 Ω_{λ} 参数, 常称此式为三参量公式。电偶极跃迁谱线强度^[12]

$$P_{ed} = \frac{8\pi^2 mc}{3h\bar{\lambda}(2J+1)} \frac{(n^2 + 2)^2}{9n} S_{JJ'} \quad (2)$$

式中 $\bar{\lambda}$ 为谱线中心波长, n 为折射率。由于 $\text{Na}_5\text{Er}(\text{WO}_4)_4$ 结构和 $\text{Na}_5\text{Eu}(\text{WO}_4)_4$ 相近, 这里采用了 $\text{Na}_5\text{Eu}(\text{WO}_4)_4$ 单晶折射率值 1.81^[13]。 h , m 和 c 分别为普朗克常数, 电子质量和光速。对满足跃迁选择定则 $\Delta s = \Delta L = 0, \Delta J = 0, \pm 1 (0 \rightarrow 0)$ 的磁偶极跃迁谱线强度 P_{md} 由下式确定^[10,14,15]

$$P_{md} = \frac{2\pi^2 n}{3hmc\bar{\lambda}(2J+1)} \left| \sum_{SL, S'L'} C(SL)C(S'L') \langle 4f^N[SL]J \| \vec{L} + 2\vec{S} \| 4f^N[S'L']J' \rangle \right|^2 \quad (3)$$

式中 Er^{3+} 的中介耦合系数 $C(SL), C(S'L')$ 可由文献[10]查到。对矩阵元 $\langle 4f^N[SL]J \| \vec{L} + 2\vec{S} \| 4f^N[S'L']J' \rangle$, 当 $J' = J - 1$ 时为 $\hbar \{ [(S+L+1)^2 - J^2] [J^2 - (L-S)^2] / 4J \}^{1/2}$, 当 $J' = J$ 时为 $\hbar \{ (2J+1)/4J(J+1) \}^{1/2} [S(S+1) - L(L+1) + 3J(J+1)]$, 当 $J' = J + 1$ 时为 $\hbar \{ [(S+L+1)^2 - (J+1)^2] [(J+1)^2 - (L-S)^2] / 4(J+1) \}^{1/2}$ 。

按表 1 给出的 Er^{3+} 从基态 $^4I_{15/2}$ 到 8 个激发态跃迁的吸收振子强度 $P_{\text{exp.}}$ (都是电偶极跃迁),

根据式(2)和(1),用最小二乘法可拟合出光谱参数 $\Omega_2 = 1.74 \times 10^{-20} \text{ cm}^2$, $\Omega_4 = 1.46 \times 10^{-20} \text{ cm}^2$ 和 $\Omega_6 = 0.51 \times 10^{-20} \text{ cm}^2$ 。均方根偏差 RMS 为 2.9×10^{-7} 。根据这三个光谱参数,可由公式(1~3)以及下述公式(4~7)计算出各激发态之间和激发态和基态之间荧光谱线振子强度 P_{em} (即 $P_{ed} + P_{md}$),自发跃迁几率 A_r ,辐射寿命 τ ,荧光分支比 β_c 和积分发射截面 Σ ,结果如表 2。

$$A_r = (8\pi^2 e^2 n^2 / mc\bar{\lambda}^2) P_{em} \quad (4)$$

$$\tau = 1 / \sum_{S' L' J'} A_r [(SL)J; (S' L')J'] \quad (5)$$

$$\beta_c = A_r [(SL)J; (S' L')J'] / \sum_{S' L' J'} A_r [(SL)J; (S' L')J'] \quad (6)$$

$$\Sigma = (\bar{\lambda}^2 / 8\pi n^2 c) A_r [(SL)J; (S' L')J'] \quad (7)$$

Table 2 Oscillator strength P_{em} , transition probability A_r , radiative lifetime τ , fluorescent branch ratio β_c and integral emission cross-section Σ of the radiative transitions of Er^{3+} in $\text{Na}_5\text{Er}(\text{WO}_4)_4$ crystal

Transitions	Wavelength (nm)	$P_{em}(10^{-6})$		A_r (s^{-1})	$\sum A_r$ (s^{-1})	τ (ms)	β_c	Σ (10^{-18} cm)
		P_{ed}	P_{em}					
${}^4I_{15/2} \rightarrow {}^4I_{15/2}$	1542	0.82	0.65	134.9	134.9	7.413	1.000	1.30
${}^4I_{11/2} \rightarrow {}^4I_{13/2}$	2748	0.41	0.56	28.0			0.245	0.86
$\rightarrow {}^4I_{15/2}$	988	0.39		86.3	113.5	8.811	0.755	0.34
${}^4F_{9/2} \rightarrow {}^4I_{9/2}$	3398	0.09		1.5			0.001	0.08
$\rightarrow {}^4I_{11/2}$	1935	0.74		42.7			0.025	0.65
$\rightarrow {}^4I_{13/2}$	1136	0.47		79.6	1690.1	0.592	0.047	0.42
$\rightarrow {}^4I_{15/2}$	654	3.03		1566.3			0.927	2.68
${}^4S_{3/2} \rightarrow {}^4I_{9/2}$	1657	0.62		43.2			0.041	0.55
$\rightarrow {}^4I_{11/2}$	1211	0.17		24.8			0.023	0.15
$\rightarrow {}^4I_{13/2}$	841	0.97		291.6	1066.2	0.938	0.274	0.85
$\rightarrow {}^4I_{15/2}$	544	0.98		706.6			0.663	0.87
${}^2H_{11/2} \rightarrow {}^4I_{15/2}$	530	5.46		4238.4	4238.4	0.236	1.000	4.82
${}^2H_{9/2} \rightarrow {}^4F_{9/2}$	1090	0.16		28.5			0.010	0.14
$\rightarrow {}^4I_{9/2}$	840	0.05		15.0			0.005	0.04
$\rightarrow {}^4I_{11/2}$	699	0.91		406.9	2842.9	0.352	0.143	0.81
$\rightarrow {}^4I_{13/2}$	554	1.71		1215.6			0.428	1.51
$\rightarrow {}^4I_{15/2}$	410	0.91		1176.9			0.414	0.80

Er^{3+} 有近 30 种晶体和 10 多个通道可产生激光输出^[16],是稀土离子中激光通道最多的离子。据文献[17]指出,具有大的振子强度和积分发射截面 $\Sigma (> 10^{-18} \text{ cm})$ 的跃迁可以产生激光输出。从表 2 看到 $\text{Na}_5\text{Er}(\text{WO}_4)_4$ 单晶中有四个通道的积分发射截面大于 $1 \times 10^{-18} \text{ cm}$,它们是 ${}^4I_{13/2} \rightarrow {}^4I_{15/2}$ ($1.54 \mu\text{m}$), ${}^4F_{9/2} \rightarrow {}^4I_{15/2}$ (654 nm), ${}^2H_{11/2} \rightarrow {}^4I_{15/2}$ (530 nm) 和 ${}^2H_{9/2} \rightarrow {}^4I_{13/2}$ (553.6 nm),这些跃迁有可能产生激光发射。其中 ${}^2H_{9/2} \rightarrow {}^4I_{13/2}$ 是 $\text{Na}_5\text{Er}(\text{WO}_4)_4$ 发射主峰,在 ${}^4I_{15/2} \rightarrow {}^4G_{11/2}$ (380 nm) 激励下,到达 ${}^4G_{11/2}$ 能级的电子很快弛豫到 ${}^2H_{9/2}$ 能级(此二能级间差 1767 cm^{-1} ,约为 $(\text{WO}_4)^{2-}$ 离子团 2 个拉伸振动声子能量),向 ${}^4I_{13/2}$ 能级辐射跃迁发出 553.6 nm 的主峰。且文献[10]实测 ${}^2H_{9/2}$ 能级寿命比 ${}^4G_{11/2}$ 的长 30 倍,这有利于 ${}^2H_{9/2}$ 成为亚稳态激光能级。

参 考 文 献

- 1 苏 锷, 王庆元, 于亚勤等. Er^{3+} 离子及 $\text{ErP}_5\text{O}_{14}$ 晶体的光谱性质. 中国激光, 1986, 13(11): 714
- 2 王庆元, 张思远, 武士学等. 用 Judd-Ofelt 理论计算 $\text{YAG} : \text{Er}^{3+}$ 晶体中 Er^{3+} 的光谱参数. 光学学报, 1986, 6(4): 307
- 3 祁长鸿, 张秀荣, 蒋亚丝等. 磷酸盐玻璃中 Er^{3+} 离子的光跃迁和激光作用. 中国激光, 1991, 18(1): 16
- 4 田玉金, 刘明果. 钇离子在钨酸锌晶体中的光谱性质. 中国激光, 1993, A20(2): 121
- 5 姚连增. $\text{Na}_5\text{Tb}(\text{WO}_4)_4$ 晶体的光谱特性研究. 中国激光, 1991, 18(10): 796
- 6 W. F. Krupke. Radiative transition probabilities within the $4f^3$ ground configuration of Nd : YAG. *IEEE J. Quant. Electr.*, 1971, QE-7(4): 153
- 7 吴光照. Judd-Ofelt 模型及其应用. 发光与显示, 1980, 4: 31
- 8 B. R. Judd. Optical absorption intensities in rare earth ions. *Phys. Rev.*, 1962, 127: 750
- 9 G. R. Ofelt. Intensities of crystal spectra of rare earth ions. *J. Chem. Phys.*, 1962, 37: 511
- 10 M. J. Weber. Probabilities for radiative and nonradiative decay of Er^{3+} in LaF_3 . *Phys. Rev.*, 1967, 157: 262
- 11 W. T. Carnall et al.. Energy levels of trivalent-lanthanide aquo-ions, *N. J. Chem. Phys.*, 1968, 49(10): 4424
- 12 W. F. Krupke. Optical absorption and fluorescence intensities in several rare earth-doped Y_2O_3 and LaF_3 single crystals. *Phys. Rev.*, 1966, 145: 325
- 13 郭常新, 潘 峻. $\text{Na}_5\text{Eu}(\text{WO}_4)_4$ 的晶体生长和光学特性研究. 中国稀土学报, 1991, 9(2): 135
- 14 B. G. Wybourne. Spectroscopic Properties of Rare Earths. Wiley, New York, 1965. Chapter 3
- 15 W. T. Carnall et al.. Spectral intensities of the trivalent lanthanides and actinides in solution, I. Pr^{3+} , Nd^{3+} , Er^{3+} , Tm^{3+} and Yb^{3+} . *J. Chem. Phys.*, 1965, 42(11): 3797
- 16 A. A. Kaminskii. Laser Crystals: Their Physics and Properties, Springer-Verlag, Berlin, Heidelberg, New York, 1981. Chapter 5. 中译本, A. A. 卡明斯基. 激光晶体, 第五章, 激活介质激光晶体汇总表, 科学出版社, 1981
- 17 J. A. Caird. Characteristics of room-temperature $2.3 \mu\text{m}$ laser emission from Tm^{3+} in YAG and YAlO_3 . *IEEE J. Quant. Electr.*, 1975, QE-11(11): 874

Spectral Properties of $\text{Na}_5\text{Er}(\text{WO}_4)_4$ Luminescent Crystal and Spectral Parameter Calculations of Er^{3+}

Guo Changxin Lin Yong Yao Lianzeng* Deng Ying*

*(Department of Physics, * Department of Material Science,*

University of Science and Technology of China, Hefei 230026)

Abstract The powder and single crystal of $\text{Na}_5\text{Er}(\text{WO}_4)_4$ have been prepared and their lattice parameters, absorption, excitation and fluorescence spectra have been measured. Meanwhile, the oscillator strength has been calculated from the absorption spectrum. According to Judd-Ofelt theory the spectral strength parameters $\Omega_2 = 1.74 \times 10^{-20} \text{ cm}^2$, $\Omega_4 = 1.46 \times 10^{-20} \text{ cm}^2$, $\Omega_6 = 0.51 \times 10^{-20} \text{ cm}^2$ of Er^{3+} have been fitted. Then the spectral parameters of Er^{3+} including spontaneous emission electric-dipole and magnetic-dipole oscillator strengths, transition probabilities, radiative lifetime, fluorescent branch ratio and integral emission cross-section have been calculated. Finally, the probability of emitting laser radiation of Er^{3+} is discussed.

Key words luminescence of Er^{3+} , laser, $\text{Na}_5\text{Er}(\text{WO}_4)_4$, spectral parameter